

СТАТИКА РАДИАЛЬНОГО ШАРИКОВОГО ПОДШИПНИКА

В. А. КУРОЧКИН

(Муасс)

Рассматриваются вопросы статики идеального шарикового подшипника. Выводятся уравнения равновесия подшипника и уравнения совместности контактных деформаций элементов подшипника в функции обобщенного параметра, зависящего от нагрузки, радиального зазора, жесткости и количества шариков подшипника.

Решения уравнений получены на ЭЦВМ «Раздан-3» и представлены в виде таблиц, достаточных для инженерных расчетов приборных радиальных шариковых подшипников.

1. Рассматривается плоская геометрическая модель радиального шарикового подшипника (фиг. 1) с числом шариков n , равномерно распределенных сепаратором по беговой дорожке неподвижного кольца (на фиг. 1 — наружного). Условно допускается, что подшипник нагружен радиальной нагрузкой P без перекоса колец, форма шариков и колец — идеальная, шарики одинаковые, проскальзывание в точках контакта шариков с кольцами отсутствует.

В точку O (центр неподвижного кольца) помещается начало прямоугольной системы координат x, y , положение подвижного кольца в которой определяется координатами его центра x_0, y_0 и углом поворота φ_0 .

Проекция расстояния между центрами колец OO_0 на направление i -го шарика, определяемое углом φ_i , будет

$$(1.1) \quad \Delta_i = x_0 \cos \varphi_i + y_0 \sin \varphi_i$$

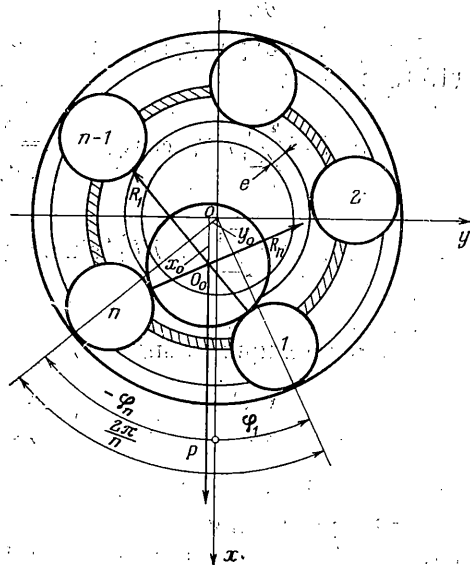
$$(1.2) \quad \varphi_i = \varphi_1 + \frac{2\pi}{n}(i-1) \quad (i=1, 2, \dots, n)$$

причем угол φ_1 определяет как положение шарика, условно названного первым, так и угол поворота сепаратора, который связан с углом поворота подвижного кольца соотношением

$$(1.3) \quad \varphi_1 = w\varphi_0$$

в котором $w = D/2(D+d)$ в случае, если подвижным является внутреннее кольцо, и $w = (D+2d)/2(D+d)$, если подвижным является наружное кольцо; D — диаметр внутреннего кольца, d — диаметр шарика.

Деформация шарика и колец в i -м контакте определяется разностью между проекцией межцентрового расстояния OO_0 на направление i -го па-



Фиг. 1.

рика и радиальным зазором подшипника e и выражается непрерывной функцией

$$(1.4) \quad \delta_i(x_0, y_0, \varphi_i) = \begin{cases} \Delta_i(x_0, y_0, \varphi_i) - e & \text{при } \Delta_i - e \geq 0 \\ 0 & \text{при } \Delta_i - e < 0 \end{cases}$$

Эта деформация сопровождается появлением упругой реакции R_i , согласно контактной теории Герца [1]

$$(1.5) \quad R_i = K \delta_i^{3/2}$$

где K — постоянная, зависящая от радиусов кривизны контактирующих поверхностей и материала.

Потенциальную энергию деформированного состояния подшипника можно представить [2] как сумму потенциальных энергий деформаций элементов подшипника в точках контакта

$$(1.6) \quad U(x_0, y_0, \varphi_i) = \sum_{i=1}^n U_i(x_0, y_0, \varphi_i)$$

В силу выражения (1.5)

$$(1.7) \quad U_i = \int_0^{\delta_i} K \delta_i^{3/2} d\delta_i = \frac{2}{5} K \delta_i^{5/2}$$

Уравнения равновесия подшипника имеют вид

$$P - \frac{\partial U}{\partial x_0} = 0, \quad -\frac{\partial U}{\partial y_0} = 0, \quad M - \frac{\partial U}{\partial \varphi_1} \frac{\partial \varphi_1}{\partial \varphi_0} = 0$$

Дифференцируя уравнение (1.6) с учетом выражений (1.1)–(1.4) и (1.7), получим

$$P = \sum_{i=1}^n K \delta_i^{3/2} \cos \varphi_i, \quad 0 = \sum_{i=1}^n K \delta_i^{3/2} \sin \varphi_i$$

$$M = w \sum_{i=1}^n -x_0 K \delta_i^{3/2} \sin \varphi_i + y_0 K \delta_i^{3/2} \cos \varphi_i$$

Уравнения равновесия сил с учетом (1.5) и уравнение моментов с учетом последних примут вид

$$(1.8) \quad P = \sum_{i=1}^n R_i \cos \varphi_i, \quad 0 = \sum_{i=1}^n R_i \sin \varphi_i$$

$$(1.9) \quad M = w P y_0$$

Здесь уравнения (1.8) характеризуют равновесие подшипника в радиальной плоскости, а уравнение (1.9) определяет консервативный момент подшипника.

Решение уравнений (1.8) относительно реакций R_1 и R_n с учетом выражения (1.2) можно представить в виде

$$(1.10) \quad r_1 = \frac{\sin(2\pi n^{-1} - \varphi_1)}{\sin 2\pi n^{-1}} - \sum_{i=2}^{n-1} r_i \frac{\sin 2\pi n^{-1} i}{\sin 2\pi n^{-1}}$$

$$r_n = \frac{\sin \varphi_1}{\sin 2\pi n^{-1}} + \sum_{i=2}^{n-1} r_i \frac{\sin 2\pi n^{-1} (i-1)}{\sin 2\pi n^{-1}}$$

Здесь реакции выражены в безразмерной форме

$$(1.11) \quad r_i = R_i/P$$

Количество шариков, контактирующих с кольцами по углу поворота сепаратора φ_1 от 0 до $2\pi/n$, и распределение нагрузки между ними зависит от радиальной нагрузки и параметров подшипника [3, 4]. В случае последовательного контакта с кольцами одного, двух, одного шариков контактные реакции определяются уравнениями (1.10); причем подвижное кольцо на границах интервала $\varphi_1 \in [0, 2\pi/n]$ имеет положение неустойчивого равновесия. При контакте с кольцами более двух шариков для определения контактных реакций используются уравнения совместности деформаций, которые для любых трех последовательно контактирующих шариков $\nu-1, \nu, \nu+1$ выводятся из выражения (1.4) с учетом (1.1), (1.2), (1.5) и (1.11)

$$(1.12) \quad r_\nu^{2/3} - \frac{1}{2 \cos 2\pi n^{-1}} (r_{\nu-1}^{2/3} + r_{\nu+1}^{2/3}) = T$$

Здесь ν последовательно принимает $s-2$ значений: $1, n, 2, n-1, \dots$, где s — количество шариков, контактирующих с кольцами, причем в силу 2π -периодичности количества шариков по углу поворота сепаратора, $r_0 = r_n$ и $r_{n+1} = r_1$, обобщенный параметр подшипника равен

$$(1.13) \quad T = 2e \left(\frac{K}{P} \right)^{2/3} \left(\operatorname{ctg}^2 \frac{\pi}{n} - 1 \right)^{-1}$$

Угол выхода шариков из-под нагрузки ψ в функции параметра T определяется уравнениями (1.10) и (1.12) при условии касания колец наиболее удаленного по углу шарика, контактная реакция которого считается равной нулю. Из полученной системы уравнений при ψ , последовательно кратном π/n , определяются области значений параметра T , в которых последовательность контактирования шариков неизменна. На границах этих областей количество шариков, воспринимающих нагрузку, постоянно в интервале $\varphi_1 \in (0, 2\pi n^{-1})$. В частности при различных последовательностях контактирования шариков по углу поворота сепаратора φ_1 от 0 до $2\pi n^{-1}$ следующие варианты.

Один, два, один шарик — реакции определяются уравнениями

$$(1.14) \quad r_1 = \frac{\sin(2\pi n^{-1} - \varphi_1)}{\sin 2\pi n^{-1}}, \quad r_n = \frac{\sin \varphi_1}{\sin 2\pi n^{-1}}$$

Из уравнения $0 = [\sin(2\pi n^{-1} - \psi)] / \sin 2\pi n^{-1}$ следует

$$(1.15) \quad \psi = 2\pi n^{-1} = \text{const} \quad (1 \leq T \leq \infty)$$

Три, два, три шарика — реакции определяются из системы уравнений

$$(1.16) \quad r_1 = \frac{\sin(2\pi n^{-1} - \varphi_1)}{\sin 2\pi n^{-1}} - 2r_2 \cos 2\pi n^{-1}$$

$$r_n = \frac{\sin \varphi_1}{\sin 2\pi n^{-1}} + r_2, \quad r_1^{2/3} - \frac{1}{2 \cos 2\pi n^{-1}} (r_2^{2/3} + r_n^{2/3}) = T$$

Угол ψ определяется из уравнения

$$(1.17) \quad \left[\frac{\sin(4\pi n^{-1} - \psi)}{\sin 2\pi n^{-1}} \right]^{2/3} - \frac{1}{2 \cos 2\pi n^{-1}} \left[\frac{\sin(\psi - 2\pi n^{-1})}{\sin 2\pi n^{-1}} \right]^{2/3} = T$$

$$\left(\frac{1}{2 \cos \pi n^{-1}} \right)^{2/3} \left(1 - \frac{1}{2 \cos 2\pi n^{-1}} \right) \leq T \leq 1$$

Четыре, три, четыре шарика — реакции определяются из системы уравнений

$$(1.18) \quad r_1 = \frac{\sin(2\pi n^{-1} - \varphi_1)}{\sin 2\pi n^{-1}} - 2r_2 \cos 2\pi n^{-1} + r_{n-1}$$

$$r_n = \frac{\sin \varphi_1}{\sin 2\pi n^{-1}} + r_2 - 2r_{n-1} \cos 2\pi n^{-1}$$

$$r_1^{2/3} - \frac{1}{2 \cos 2\pi n^{-1}} (r_2^{2/3} + r_n^{2/3}) = T, \quad r_n^{2/3} - \frac{1}{2 \cos 2\pi n^{-1}} (r_1^{2/3} + r_{n-1}^{2/3}) = T$$

Угол ψ определяется из системы уравнений

$$(1.19) \quad \left[\frac{\sin(\psi - 2\pi n^{-1})}{\sin 2\pi n^{-1}} - 2r_2 \cos 2\pi n^{-1} \right]^{2/3} -$$

$$- \frac{1}{2 \cos 2\pi n^{-1}} \left[\frac{\sin(4\pi n^{-1} - \psi)}{\sin 2\pi n^{-1}} + r_2 \right]^{2/3} - \frac{1}{2 \cos 2\pi n^{-1}} r_2^2 = T$$

$$- \frac{1}{2 \cos 2\pi n^{-1}} \left[\frac{\sin(\psi - 2\pi n^{-1})}{\sin 2\pi n^{-1}} - 2r_2 \cos 2\pi n^{-1} \right]^{2/3} +$$

$$+ \left[\frac{\sin(4\pi n^{-1} - \psi)}{\sin 2\pi n^{-1}} + r_2 \right]^{2/3} = T$$

$$\frac{2 \cos^2 2\pi n^{-1} - 1}{\cos 2\pi n^{-1} (1 + 2 \cos 2\pi n^{-1})} \left[2 \cos 2\pi n^{-1} + \left(2 \frac{1 + \cos 2\pi n^{-1}}{1 + 2 \cos 2\pi n^{-1}} \right)^{3/2} \right]^{-1} \leq$$

$$\leq T \leq \left(\frac{1}{2 \cos \pi n^{-1}} \right)^{2/3} \left(1 - \frac{1}{2 \cos 2\pi n^{-1}} \right)$$

Аналогично можно получить уравнения при других последовательностях контактирования шариков. Таким образом, контактные реакции любого количества шариков, воспринимающих нагрузку, угол выхода шариков из-под нагрузки и последовательность контактирования шариков являются функциями обобщенного параметра T (1.13) и определяются уравнениями (1.10) и (1.12).

2. Задачей статики радиального подшипника является нахождение величин x_0 , y_0 и консервативного момента M в функции обобщенного параметра T и угла поворота сепаратора φ_1 .

Компоненты относительного смещения колец OO_0 определяются из системы уравнений контактных деформаций с кольцами 1- и n -го шариков (1.4) и с учетом выражений (1.5), (1.11), (1.15) имеют вид

$$(2.1) \quad x_0 = (P/K)^{2/3} F_0, \quad y_0 = -(P/K)^{2/3} F_0'$$

$$(2.2) \quad F_0 = \frac{1}{\sin 2\pi n^{-1}} \left[T \frac{\cos 2\pi n^{-1}}{\sin \pi n^{-1}} \cos(\pi n^{-1} - \varphi_1) + \right.$$

$$\left. + r_1^{2/3} \sin(2\pi n^{-1} - \varphi_1) + r_n^{2/3} \sin \varphi_1 \right]$$

$$F_0' = \frac{1}{\sin 2\pi n^{-1}} \left[T \frac{\cos 2\pi n^{-1}}{\sin \pi n^{-1}} \sin(\pi n^{-1} - \varphi_1) - \right.$$

$$\left. - r_1^{2/3} \cos(2\pi n^{-1} - \varphi_1) + r_n^{2/3} \cos \varphi_1 \right]$$

Очевидно, что величины x_0, y_0 — периодические по φ_1 , угол φ_1 рассматривается как параметр, так как кинематическое положение элементов подшипника не меняется в результате поворота сепаратора на угол $2\pi n^{-1}m$, где m — целое. При этом F_0, F_0' — непрерывные функции φ_1 в интервале $0 \leq \varphi_1 \leq 2\pi n^{-1}$ при $T \leq 1$, а при $T > 1$ функция F_0' имеет разрыв первого рода и F_0 имеет излом только на границах интервала вследствие неустойчивого положения равновесия подвижного кольца. Поэтому их можно разложить в ряды Фурье по φ_1

$$(2.3) \quad \Phi_0 = \frac{\Phi_{00}}{2} + \sum_{j=1}^{\infty} \Phi_{0j} \cos jn\varphi_1 + \Phi_{0j}' \sin jn\varphi_1$$

$$\Phi_{00} = \frac{n}{\pi} \int_0^{2\pi n^{-1}} \Phi_0 d\varphi_1, \quad \Phi_{0j} = \frac{n}{\pi} \int_0^{2\pi n^{-1}} \Phi_0 \cos jn\varphi_1 d\varphi_1$$

$$\Phi_{0j}' = \frac{n}{\pi} \int_0^{2\pi n^{-1}} \Phi_0 \sin jn\varphi_1 d\varphi_1$$

Здесь Φ_0 принимает значения F_0 и F_0' .

После соответствующих преобразований выражений (2.3) с учетом (2.2) величины F_0, F_0' примут вид

$$F_0 = \frac{1}{2} F_{00} + \sum_{j=1}^{\infty} F_{0j} \cos jn\varphi_1, \quad F_0' = \sum_{j=1}^{\infty} F_{0j}' \sin jn\varphi_1$$

$$F_{0j} = 2 \frac{n}{\pi} \frac{1}{\sin 2\pi n^{-1}} \left\{ T \frac{\cos 2\pi n^{-1}}{1 - (jn)^2} + \int_0^{2\pi n^{-1}} [r_1^{2/3} \sin(2\pi n^{-1} - \varphi_1) + r_n^{2/3} \sin \varphi_1] \cos jn\varphi_1 d\varphi_1 \right\} \quad (j=0, 1, 2, \dots)$$

$$F_{0j}' = 2 \frac{n}{\pi} \frac{1}{\sin 2\pi n^{-1}} \left\{ T \frac{jn \cos 2\pi n^{-1}}{(jn)^2 - 1} - \int_0^{2\pi n^{-1}} [r_1^{2/3} \cos(2\pi n^{-1} - \varphi_1) - r_n^{2/3} \cos \varphi_1] \sin jn\varphi_1 d\varphi_1 \right\}, \quad (j=1, 2, 3, \dots)$$

Таким образом, функции x_0, y_0 и M и коэффициенты их разложения в ряд Фурье можно вычислить с помощью уравнений (1.10) и (1.12), выраженных в зависимости от T в форме (1.14) и (1.15), (1.16) и (1.17) или (1.18) и (1.19) и т. д.

В приборных радиальных шариковых подшипниках с числом шариков $5 \div 8$ наибольший интерес представляют зависимость консервативного момента $M(T, \varphi_1)$ в функции φ_1 и амплитуды первых гармоник ряда Фурье M в функции T . В связи с этим проведено вычисление на ЭЦВМ величин $F_0'(T, \varphi_1)$ для $0 \leq \varphi_1 \leq \pi n^{-1}$, F_{0j}' ($j=1, 2, 3, 4, 5$) в зависимости от T для второй последовательности контактирования шариков.

Таблица 1

T	ψ	3°36'	7°12'	10°48'	14°24'	18°	21°36'	25°12'	28°48'	32°24'	j=1	2	3	4	5
1	72°	86	103	105	100	89	74	58	39	20	101	33	17	11	7
0.855	73°23'	43	65	71	70	64	54	43	29	15	70	18	7	4	1
0.710	75°48'	1	26	37	41	39	34	27	19	10	39	3	-2	-4	-4
0.565	78°49'	-12	-12	3	11	14	15	13	9	5	9	-8	-7	-4	-2
0.421	82°45'	-16	-30	-31	-18	-10	-5	-3	-1	0	-17	-14	-5	0	2
0.276	86°02'	-17	-34	-46	-48	-35	-25	-17	-11	-5	-38	-13	0	3	2
0.131	90°04'	-17	-33	-47	-58	-60	-45	-33	-21	-10	-53	-7	5	2	-2
-0.014	94°18'	-15	-30	-44	-55	-62	-63	-48	-31	-15	-59	3	4	-2	0
-0.159	98°43'	-13	-26	-37	-47	-55	-59	-58	-41	-20	-55	10	0	-1	2
-0.304	103°18'	-10	-20	-29	-37	-43	-47	-47	-42	-25	-45	11	-4	2	-1
-0.448	108°	-7	-14	-20	-25	-28	-30	-29	-25	-17	-28	6	-2	1	0

Таблица 2

T	ψ	3°	6°	9°	12°	15°	18°	21°	24°	27°	j=1	2	3	4	5
1	60°	86	102	102	95	84	70	54	37	18	96	33	17	11	7
0.900	61°21'	34	55	61	6	54	46	36	25	12	59	14	5	-1	0
0.800	63°37'	-13	8	19	24	24	22	18	12	64	21	-4	-7	-7	-6
0.700	66°20'	-23	-37	-22	-12	-6	-6	-2	0	0	-14	-17	-11	-5	-1
0.600	69°20'	-25	-48	-62	-47	-35	-26	-18	-12	-6	-44	-21	-6	2	4
0.500	72°33'	-25	-48	-68	-80	-65	-50	-36	-24	-12	-66	-15	4	5	0
0.400	75°54'	-23	-44	-64	-81	-90	-74	-54	-36	-18	-77	-2	9	0	-3
0.300	79°21'	-19	-38	-56	-71	-84	-89	-72	-48	-24	-81	8	4	-4	1
0.200	82°52'	-16	-31	-45	-58	-68	-76	-78	-60	-30	-72	17	-3	-1	2
0.100	86°25'	-11	-21	-32	-41	-49	-54	-57	-54	-36	-51	16	-6	4	-1
0	90°	-6	-12	-18	-23	-26	-29	-29	-26	-18	-26	7	-2	2	-1

Таблица 3

T	ψ	2°34'	5°08'	7°42'	10°16'	12°51'	15°25'	18°00'	20°34'	23°08'	j=1	2	3	4	5
1	51°26'	91	108	108	101	89	74	57	38	19	102	35	18	11	8
0.913	52°42'	29	52	59	58	53	45	37	24	12	57	13	4	1	-1
0.827	54°45'	-22	-4	10	16	18	17	14	10	5	12	-9	-10	-9	-7
0.740	57°09'	-31	-54	-40	-26	-18	-12	-3	-4	-2	-29	-22	-12	-4	1
0.654	59°46'	-32	-62	-83	-69	-53	-40	-29	-19	-9	-62	-25	-5	3	4
0.567	62°31'	-30	-59	-85	-103	-89	-69	-50	-33	-16	-87	-18	5	5	0
0.480	65°23'	-27	-53	-78	-99	-113	-97	-72	-47	-23	-98	0	11	-1	-3
0.394	68°17'	-23	-45	-66	-85	-101	-110	-93	-62	-31	-100	14	5	-6	2
0.307	71°14'	-18	-35	-51	-67	-180	-90	-94	-76	-38	-85	22	-5	0	3
0.220	74°12'	-12	-24	-35	-45	-54	-61	-65	-64	-45	-58	20	-8	5	-2
0.134	77°09'	-6	-12	-17	-22	-26	-28	-29	-27	-20	-31	7	-4	2	-2

Таблица 4

T	ψ	2°15'	4°30'	6°45'	9°	11°15'	13°30'	15°45'	18°	20°15'	j=1	2	3	4	5
1	45°	100	117	117	109	96	80	62	42	21	111	38	20	12	9
0.919	46°10'	27	52	60	60	55	47	37	25	13	58	12	2	-1	-2
0.839	48°	-29	-13	3	11	14	14	12	89	5	6	-14	-14	12	-9
0.758	50°08'	-38	-68	-54	-38	-27	-19	-13	-8	-4	-40	-28	-15	-4	4
0.678	52°26'	-38	-74	-101	-87	-68	-52	-37	-24	-12	-77	-28	-4	5	5
0.597	54°51'	-36	-208	-101	-124	-109	-85	-62	-41	-20	-107	-20	9	8	-2
0.517	57°20'	-31	-62	-90	-116	-133	-117	-87	-57	-28	-118	-2	12	-2	-4
0.436	59°52'	-26	-51	-76	-98	-117	-119	-112	-74	-37	-117	18	5	-8	3
0.356	62°25'	-20	-39	-58	-75	-91	-103	-109	-90	-45	-93	29	-7	2	3
0.275	64°58'	-13	-26	-39	-50	-60	-68	-74	-73	-53	-63	24	-10	7	-3
0.195	67°30'	-6	-12	-17	-23	-27	-30	-30	-28	-21	-26	-8	-3	2	-1

Для первой последовательности контактирования шариков величины F_0' и F_{0j}' имеют вид

$$F_0'(T, \varphi_1) = F_0'(T=1, \varphi_1) + (T-1) \frac{\operatorname{ctg} 2\pi n^{-1}}{\sin \pi n^{-1}} \sin(\pi n^{-1} - \varphi_1);$$

$$(2.4) \quad F_{0j}'(T) = F_{0j}'(T=1) + 2 \frac{n}{\pi} (T-1) \frac{jn \operatorname{ctg} 2\pi n^{-1}}{(jn)^2 - 1}$$

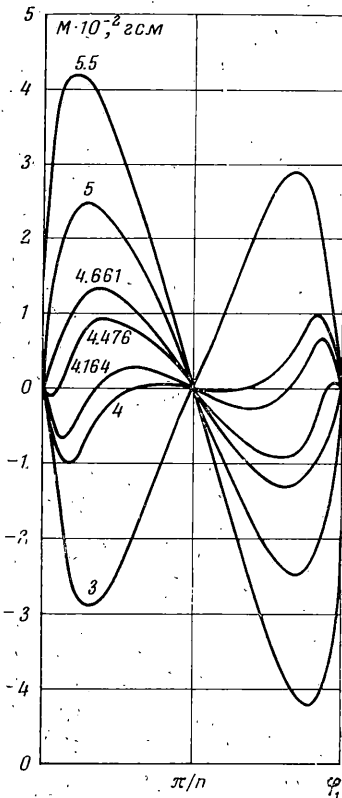
В табл. 1–4 представлены результаты вычислений для числа шариков n от пяти до восьми соответственно значений $F_0'(T, \varphi_1) \times 10^3$ (на границах интервала $\varphi_1 \in [0, \pi n^{-1}]$ $F_0' = 0$) и $F_{0j}'(T) \times 10^3$ ($j=1, 2, 3, 4, 5$).

Пример 1. Шарикоподшипник А640018 с параметрами: $n=7$, $D=10.731$ мм, $d=3.969$ мм, $K=0.45$ кг/мм^{3/2}, $P=2.5$ кг.

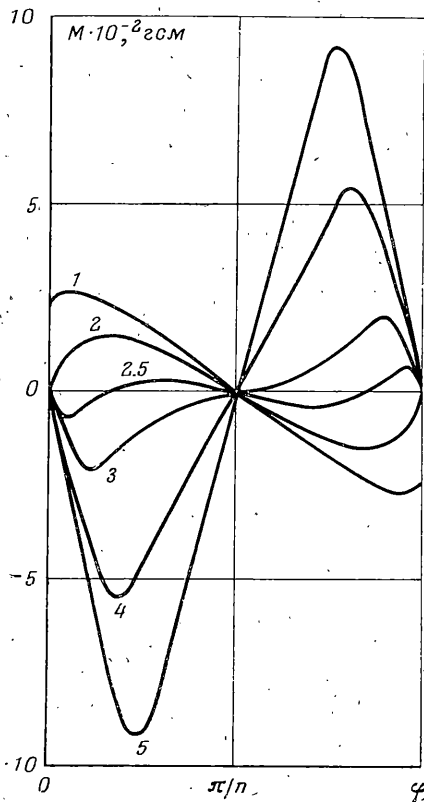
1. Найти зависимость консервативного момента в функции угла поворота сепаратора φ_1 от 0 до $2\pi n^{-1}$ при радиальных зазорах 3 мк, 4 мк, 5 мк, 5.5 мк.

Вычисляются значения обобщенного параметра по формуле (1.13) $T|_{e=3}=0.578$, $T|_{e=4}=0.771$, $T|_{e=5}=0.963$, $T|_{e=5.5}=1.059$.

Из табл. 3 интерполированием находятся значения F_0' в функции угла φ_1 для вычисленных значений T , причем для $T=1.059$ используется уравнение (2.4).



Фиг. 2



Фиг. 3

Величина момента определяется из уравнения (1.9) с учетом (2.1) и (2.2).

Зависимости моментов (фиг. 2) можно сравнить с графиками в [4], результаты совпадают.

2. Выбрать радиальный зазор из условия обращения в нуль: а) первой гармоники консервативного момента, б) второй, в) третьей.

Построить зависимость момента от φ_1 . Из табл. 3 $F_{01}'=0$, $T=0.802$; $F_{02}'=0$, $T=0.862$; $F_{03}'=0$, $T=0.888$. По формуле (1.13) определяется e соответственно 4.164 мк, 4.476 мк, 4.611 мк. Зависимости консервативного момента представлены на фиг. 2.

Пример 2. Трехколенный шарикоподшипник СЗ90095 с параметрами по внутреннему ряду шариков: $n=7$, $D=6.619$ мм, $d=2.381$ мм, $K=0.49$ кг/мм^{3/2}, $e=4$ мк.

На фиг. 3 показана зависимость консервативного момента, действующего на внутреннее кольцо при медленном вращении промежуточного, в функции угла поворота сепаратора при различных значениях нагрузки. Из графиков очевидна, с одной стороны, сугубо нелинейная зависимость консервативного момента от нагрузки, с другой стороны, возможность выбора параметров подшипника с целью минимизации консервативного момента.

Поступила 21 V 1973

ЛИТЕРАТУРА

1. Носиков Л. З. Статика радиально-упорного шарикового подшипника с осевым натягом. Изв. АН СССР. ОТН. Механика и машиностроение, 1963, № 5.
2. Журавлев В. Ф. Задача о равновесии неидеального шарикового подшипника. Изв. АН СССР. МТТ, 1970, № 4.
3. Родионов Е. М. О моменте сопротивления вращению приборного радиального шарикоподшипника. Тр. Моск. авиац.-техн. ин-та. М., Оборонгиз, 1957.
4. Филагов В. В. О влиянии ошибок изготовления шариковых подшипников карданова подвеса на уход гироскопических приборов. Изв. АН СССР. МТТ, 1972, № 1.